

# Generating Laguerre expansion coefficients by solving a one-dimensional transport equation.

Andrew V. Terekhov

*Institute of Computational Mathematics and Mathematical Geophysics, 630090, Novosibirsk, Russia*

*Novosibirsk State Technical University, 630073, Novosibirsk, Russia*

---

## Abstract

Spectral methods based on integral transforms may be efficiently used to solve differential equations in some special cases. This paper considers a different approach in which algorithms are proposed to calculate integral Laguerre transform by solving a one-dimensional transport equation. In contrast to the direct calculation of improper integrals of rapidly oscillating functions, these procedures make it possible to calculate the expansion coefficients of a Laguerre series expansion with better stability, higher accuracy, and less computational burden.

*Keywords:* Laguerre functions, Fast algorithms, Transport equation

*PACS:* 02.60.Dc, 02.60.Cb, 02.70.Bf, 02.70.Hm

---

## 1. Введение

Интегральное преобразование Лагерра применяется в различных областях математического моделирования: для решения уравнений акустики и упругости [1, 2, 3, 4], уравнений Максвелла и теплопроводности [5, 6], при решении задач спектроскопии [7]. Также преобразование Лагерра оказалось чрезвычайно эффективным при построении устойчивого алгоритма продолжения волнового поля в рамках решения обратных задач сейсмической разведки [8, 9]. На основе преобразования Лагерра разработаны численные методы обращения преобразований Лапласа [10, 11, 12] и Фурье [13].

При численном решении дифференциальных уравнений после применения преобразования Лагерра по времени и аппроксимации пространственных производных требуется решать знакоопределенные хорошо обусловленные системы линейных алгебраических уравнений, для которых можно использовать быстроходящиеся алгоритмы вычислительной линейной алгебры [14, 15, 16]. Более того, в противоположность преобразованию Фурье, для расчета коэффициентов ряда Лагерра требуется многократно обращать один и тот же оператор, независимый от номера вычисляемой гармоники, тогда как после применения преобразования Фурье оператор задачи будет иметь

---

*Email address:* `andrew.terekhov@mail.ru` (Andrew V. Terekhov)

зависимость от частоты. Это свойство преобразования Лагерра позволяет использовать эффективные параллельные предобуславливающие процедуры для решения систем линейных алгебраических уравнений, например, на основе алгоритма дихотомии [2, 17, 18], который был специально разработан для обращения одной и той же матрицы для различных правых частей.

Введем в рассмотрение функции Лагерра [19]

$$l_n(t) = e^{-t/2} L_n(t), \quad t \geq 0 \quad (1)$$

где  $L_n(t)$  полином Лагерра порядка  $n$ , который может быть задан, например, формулой Родрига

$$L_n(t) = \frac{e^t}{n!} \frac{d^n}{dt^n} (t^n e^{-t}) = \frac{1}{n!} \left( \frac{d}{dt} - 1 \right)^n t^n.$$

Будем использовать обозначение  $L_2[0, \infty)$  для пространства интегрируемых с квадратом функций  $f : [0, \infty) \rightarrow \mathbb{C}$

$$L_2[0, \infty) = \left\{ f : \int_0^\infty |f(t)|^2 dt \leq \infty \right\}.$$

Функции Лагерра образуют полную ортонормированную систему функций в  $L_2[0, \infty)$

$$\int_0^\infty l_m(t) l_n(t) dt = \begin{cases} 0, & m \neq n, \\ 1, & m = n, \end{cases} \quad (2)$$

что гарантирует для любой функции  $f(t) \in L_2[0, \infty)$  справедливость следующего представления

$$f(t) \sim \sum_{m=0}^{\infty} \bar{a}_m l_m(\eta t), \quad t \geq 0, \quad \eta > 0, \quad (3a)$$

$$\bar{a}_m = \int_0^\infty f(t) l_m(\eta t) dt, \quad (3b)$$

где  $\eta$  – это параметр масштабирования функций Лагерра, позволяющий увеличить скорость сходимости ряда (3a).

Несмотря на то, что значения функции Лагерра для больших значений  $n$  ограничены сверху в силу справедливости асимптотического представления [20]

$$l_n(t) = \frac{1}{\pi^{1/2} (nt)^{1/4}} \left( \cos(2\sqrt{nt} - \pi/4) \right) + O\left(\frac{1}{n^{3/4}}\right), \quad t \in [a, b], \quad 0 < a < b < \infty, \quad (4)$$

одна из проблем численной реализации преобразования (3b) состоит в том, что при вычислении функций Лагерра для  $t > 1$  значения многочленов Лагерра  $L_n(t)$  быстро возрастают с ростом  $n$ , что приводит к ошибке типа "overflow", тогда как при вычислении множителя  $\exp(-t/2)$  может возникнуть ошибка типа "underflow". Для небольших значений  $n$  и  $t$  можно проводить вычисления функций Лагерра по формуле

$$l_n(t) = [e^{-t/4} L_n(t)] e^{-t/4}. \quad (5)$$

То есть, сначала необходимо вычислить выражение в квадратных скобках, используя рекуррентную формулу второго порядка [21]

$$(n+1)L_{n+1}(t) = (2n+1-t)L_n(t) - nL_{n-1}(t), \quad n \geq 1, \quad (6)$$

$$L_1(t) = 1-t, \quad L_0(t) = e^{-t/4}.$$

Затем, домножая результат на второй экспоненциальный множитель, вычислить значение функции Лагерра. Если расчеты проводить для 128-битной вещественной машинной точности, то такой способ исключает ситуации типа "overflow" и "underflow" для значений  $n$ , не превышающих порядка нескольких тысяч, и для  $t < 20$ ,  $\eta < 1200$ . Из-за того, что арифметика повышенной точности, как правило, реализуется на программном, а не на аппаратном уровне, использование повышенной точности значительно снижает производительность вычислений. Поэтому с целью экономии времени счета 128-битную арифметику следует применять только для расчета функций Лагерра, тогда как суммирование при аппроксимации интеграла (3b) можно проводить, используя стандартную 64-битную точность.

Другая проблема реализации преобразования Лагерра состоит в том, что функции Лагерра  $n$ -го порядка на интервале  $0 < t < 4n$  осциллируют [22], причем наиболее сильно вблизи нуля (см. рис. 1). Таким образом, возникает проблема выбора метода интегрирования быстро осциллирующих функций. Для преодоления этой трудности, в [23] предложен алгоритм вычисления значения интеграла (3b) на основе квадратур высокого порядка точности, позволяющий вычислять коэффициенты разложения ряда Лагерра для  $n$ , не превышающих нескольких сотен. Однако следует учитывать, что квадратуры высоких порядков определены для неравномерной сетки, что может стать препятствием к их использованию, если аппроксимируемая функция задана в виде временного ряда для равноотстоящих временных интервалов. Для аналитических функций могут быть применены подходы на основе преобразования Лапласа [11]

$$\bar{a}_n = \frac{1}{2\pi i} \int_{C_r} \left[ \frac{\hat{f}((1+z)/2(1-z))}{1-z} \right] z^{-(n+1)} dz. \quad (7)$$

Здесь выражение в квадратных скобках – это генерирующая функция Лагерра, которая аналитична в круге  $C_r$  радиуса  $r$  с центром в начале координат,  $\hat{f}(s)$  – это преобразование Лапласа для функции  $f(t)$ . Мнимая единица обозначена как  $i = \sqrt{-1}$ . При вычислении интеграла (7) необходимость предварительного выполнения преобразования Лапласа для разлагаемой в ряд Лагерра функции усложняет реализацию данного алгоритма.

Другой метод вычисления коэффициентов разложения задается интегралом вида [13]

$$\bar{a}_n = \frac{1}{2\pi} \int_0^{2\pi} \left[ \frac{1}{2} \left( 1 + i \operatorname{ctg} \frac{z}{2} \right) f \left( \frac{1}{2} \operatorname{ctg} \frac{z}{2} \right) \right] e^{-inz} dz. \quad (8)$$

Следует учитывать, что функция котангенс имеет особенности в точках  $0$  и  $\pi$ . Это усложняет расчет коэффициентов разложения, в особенности, если аппроксимируемая

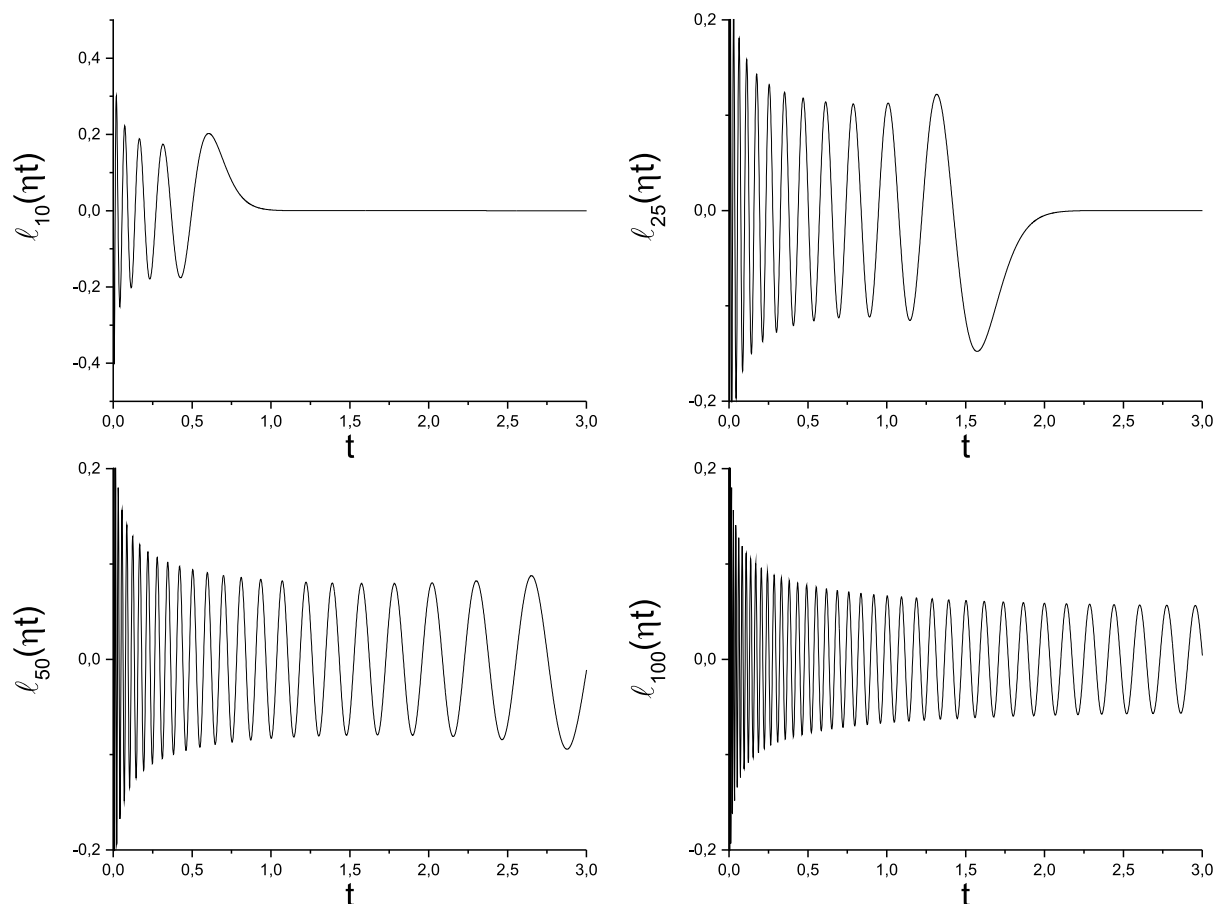


Рис. 1: Графики функций Лагерра различных порядков для параметра преобразования  $\eta = 600$ .

функция является дискретной. Еще один метод, требующий выполнения преобразования Лапласа и Фурье, предложен в работе [10]. Таким образом, рассмотренные выше подходы наиболее приспособлены для аппроксимации гладких аналитических функций, для которых преобразование Лапласа или Фурье известно. Однако при решении прикладных задач исходные данные могут быть дискретными функциями, не обладающие высокой гладкостью, что требует разработки дополнительных процедур для этого случая.

В данной работе на основе решения одномерного транспортного уравнения будет предложен новый метод расчета коэффициентов ряда Лагерра. Оригинальность предлагаемого подхода состоит в том, что интегральные преобразования, как правило, используются для решения дифференциальных уравнений, однако, мы поступим наоборот, т.е. будем использовать решение одномерного транспортного уравнения для реализации интегрального преобразования Лагерра. Такой взгляд на поставленную задачу позволит предложить устойчивый и достаточно точный алгоритм с затратами меньшими, чем при непосредственном вычислении интеграла (3b). Также в работе будет рассмотрен экономичный вариант метода для аппроксимации функций для больших

интервалов.

## 2. Экономичный алгоритм разложения функции в ряд Лагерра

### 2.1. Основные формулы

Рассмотрим начально-краевую задачу для одномерного транспортного уравнения

$$\begin{cases} \frac{\partial v}{\partial t} - \frac{\partial v}{\partial x} = 0, & t > 0, \quad -\infty < x < +\infty, \\ v(x, 0) = f(x). \end{cases} \quad (9)$$

После преобразования Лагерра по времени задача (9) может быть записана в виде [4]

$$\left(\frac{\eta}{2} - \partial_x\right) \bar{v}_m = -\Phi(\bar{v}_m), \quad (10)$$

где

$$\Phi(\bar{v}_m) = \sqrt{\eta}f + \eta \sum_{j=0}^{m-1} \bar{v}_j. \quad (11)$$

принимая во внимание

$$\Phi(\bar{v}_m) = \eta \bar{v}_{m-1} + \Phi(\bar{v}_{m-1}),$$

запишем уравнение (10) в форме

$$\begin{cases} \left(\frac{\eta}{2} - \partial_x\right) \bar{v}_0 + \sqrt{\eta}f = 0, & (12a) \\ \left(\frac{\eta}{2} - \partial_x\right) \bar{v}_m = \left(-\frac{\eta}{2} - \partial_x\right) \bar{v}_{m-1}, \quad m = 1, 2, \dots & (12b) \end{cases}$$

Тогда, выполняя преобразование Фурье для переменной  $x$ , получаем:

$$\begin{cases} \left(\frac{\eta}{2} - \text{I}k\right) \bar{V}_0(k) + \sqrt{\eta}\tilde{f}(k) = 0, & (13a) \\ \left(\frac{\eta}{2} - \text{I}k\right) \bar{V}_m(k) = \left(-\frac{\eta}{2} - \text{I}k\right) \bar{V}_{m-1}(k), \quad m = 1, 2, \dots, & (13b) \end{cases}$$

где  $k$  – это волновое число. Явно выражая искомую функцию, имеем:

$$\bar{V}_m(k) = \sqrt{\eta}\tilde{f}(k) \left(-\frac{\eta}{2} - \text{I}k\right)^m / \left(\frac{\eta}{2} - \text{I}k\right)^{m+1}. \quad (14)$$

Снова рассмотрим задачу (9), но теперь с периодическими граничными условиями вида  $x(0, t) = x(T, t)$ , где величина  $T$  будет определять границу интервала аппроксимации функции  $f(t)$ ,  $t \in [0, T]$ . В этом случае решение транспортного уравнения выражается через суммирование решений вида (14) для дискретного набора частот  $k_j = 2\pi j/T$ ,  $j = 0, 1, \dots, N_x$ :

$$\bar{v}_m(p) \approx \sum_{j=0}^{N_x} \tilde{V}_m(k_j) \exp\left(\text{I} \frac{2\pi j p}{T}\right). \quad (15)$$

Подчиняясь решению (15) для транспортного уравнения, функция  $f(t)$ , заданная в качестве начального условия, будет двигаться в направлении  $x = 0$ . Записывая решение транспортного уравнения в точке  $x = 0$ , получаем, что искомые коэффициенты разложения (3b) для функции  $f(t)$  могут быть вычислены как  $\bar{a}_m = \bar{v}_m(0)$ .

Несмотря на то, что расчет коэффициентов разложения по формулам (14), (15) требует  $O(nN_x)$  арифметических действий, т.е. алгоритм не является быстрым, предлагаемый способ реализации преобразования Лагерра имеет несколько существенных преимуществ по сравнению с непосредственным вычислением значения несобственного интеграла от быстроосциллирующей функции (3b). Во-первых, в силу определения модуля комплексного числа имеет место тождество

$$\left| \left( -\frac{\eta}{2} - Ik \right) / \left( \frac{\eta}{2} - Ik \right) \right| \equiv 1,$$

гарантирующее устойчивость расчета и невозникновение ситуаций типа "overflow" и "underflow" для любых  $T$  и  $n$ , что является проблемой при вычислении значений функций Лагерра посредством формулы (3b). Во-вторых, как будет показано далее, расчеты на основе формул (14),(15) могут быть выполнены с одинарной 32-битной вещественной точностью, что увеличивает производительность вычислений за счет более высокой степени их векторизации. В противоположность этому, значительный разброс значений функции Лагерра требует 64-битной точности вычислений. В-третьих, несмотря на сильные осцилляции функций Лагерра вблизи начала координат (рис. 1), спектральный подход не требует использования неравномерных сеток или квадратур высокого порядка точности, чтобы сохранять заданную точность на всем интервале аппроксимации. Задание количества гармоник  $N_x$  ряда Фурье вместо шага сетки с практической точки зрения намного удобнее, так как границы спектра аппроксимируемой функции, как правило, заранее известны, либо могут быть экономично определены.

Недостаток рассматриваемой вычислительной модели состоит в том, что такой способ расчета добавляет фиктивную периодичность вида  $f(t) = f(t + bT)$ , где  $b$  – это любое целое неотрицательное число. Для исключения нежелательной периодичности два принципиально различных подхода будут предложены далее.

## 2.2. Исключение фиктивной периодичности на основе равенства Парсеваля

Рассмотрим первый подход, позволяющий исключить фиктивную периодичность, которая возникает при вычислении коэффициентов разложения ряда Лагерра на основе формулы (15). На рис. 2b приведены коэффициенты разложения ряда Лагерра для функции  $f(t)$  на рис. 2a, задаваемой формулой

$$f(t) = \exp \left[ -\frac{(2\pi f_0(t - t_0))^2}{g^2} \right] \sin(2\pi f_0(t - t_0)), \quad (16)$$

где  $t_0 = 0.5$ ,  $g = 4$ ,  $f_0 = 30$ . Из рис. 2b видно, чтобы исключить нежелательную периодичность, достаточно увеличить расчетный интервал с  $[0, T]$  до  $[0, 3T]$ , считая что для  $t \in [T, 3T]$  значение функции равно нулю. Затем, после вычисления коэффициентов разложения, отбросить коэффициенты с номерами  $m > m_0 \approx 400$ . В расчетах

для меньших интервалов аппроксимации, например  $[0, T]$  или  $[0, 2T]$ , невозможно отделить фиктивные периоды функции в спектральной области, так как резкий обрыв ряда приведет к осцилляциям на всем интервале аппроксимации.

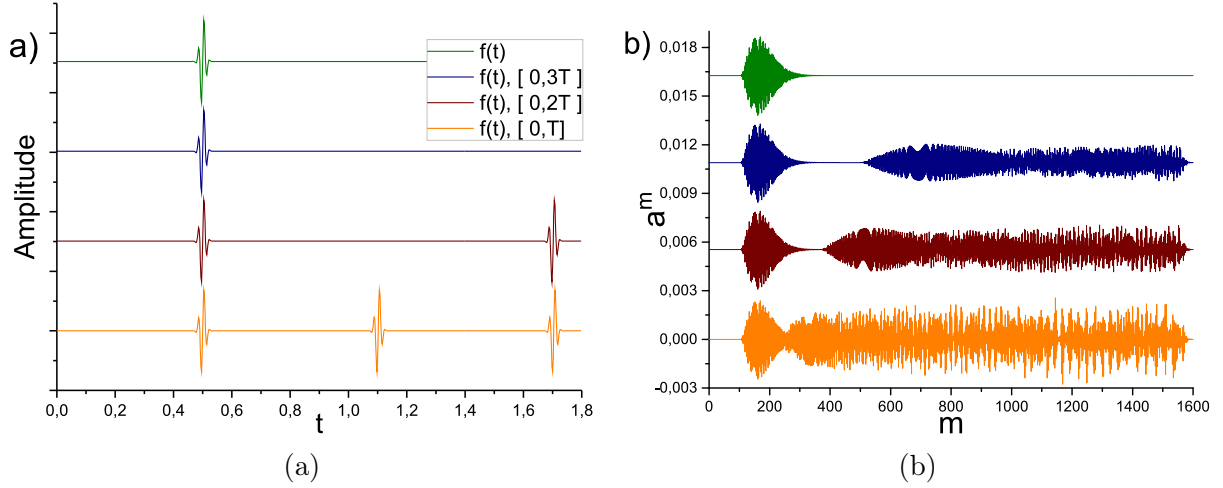


Рис. 2: а) График функции (16) и ее аппроксимации по формуле (15) для интервалов различной длины, б) спектр Лагерра.

Для того чтобы автоматически определить число удерживаемых коэффициентов разложения, воспользуемся соотношением Парсеваля

$$\int_0^\infty v^2(t)dt = \sum_{m=0}^\infty (\bar{v}_m)^2, \quad (17)$$

на основании которого максимальное число коэффициентов ряда Лагерра  $m_0$  будем определять из условия

$$\arg \min_{m_0} \left| \frac{\int_0^T v^2(t)dt - \sum_{m=0}^{m_0} (\bar{v}_m)^2}{\int_0^T v^2(t)dt} \right|. \quad (18)$$

Теперь сформулируем алгоритм разложения функции  $f(t)$  в ряд Лагерра.

**Алгоритм 1.** Для аппроксимации рядом Лагерра функции  $f(t)$  на интервале  $t \in [0, T]$  следует выполнить:

1. На основе быстрого алгоритма дискретного преобразования Фурье вычислить  $\tilde{f} = FFT(f)$ .
2. На основе формулы (15) и равенства  $\bar{a}_m = \bar{v}_m(0)$  вычислить коэффициенты разложения ряда (3а).
3. На основе формулы (18) оставить только первых  $m_0$  коэффициентов ряда (3а).

Рассмотренный апостериорный способ исключения фиктивной периодичности неудобен с практической точки зрения, так как спектры для негладких функций могут быть

достаточно протяженными, что является препятствием для отделения первого периода аппроксимируемой функции от последующих фиктивных периодов в спектральной области. Аппроксимируя функции различной гладкости, не совсем очевидно, во сколько раз необходимо увеличивать интервал аппроксимации, чтобы гарантированно исключить фиктивную периодичность. При этом чрезмерное увеличение длины интервала аппроксимации ("с запасом") ведет к существенному росту вычислительных затрат. Для решения обозначенных проблем будет разработана альтернативная процедура исключения фиктивной периодичности, не требующая апостериорного анализа спектра Лагерра.

### 2.3. Процедуры "сдвига" и "сопряжения" для ряда Лагерра

Разработаем две вспомогательные процедуры для модификации коэффициентов разложения ряда Лагерра, которые назовем "сдвиг" и "сопряжение". Это позволит предложить альтернативную процедуру исключения фиктивной периодичности, а также процедуру для сокращения вычислительных затрат в случае разложения функции в ряд для больших интервалов аппроксимации. Рассмотрим аналитическое решение для следующей начально-краевой задачи

$$\begin{cases} \frac{\partial v}{\partial t} + \frac{\partial v}{\partial x} = 0, & t > 0, x > 0, \\ v(0, t) = f(t), & t \geq 0, \\ v(x, 0) = 0, & x \geq 0, \\ f(0) = 0. \end{cases} \quad (19)$$

Как и при решении задачи (9), применим преобразование Лагерра по времени к транспортному уравнению, получив уравнение (10). Однако для того, чтобы удовлетворить граничным условиям (19), для вычисления коэффициентов разложения  $\bar{v}_m(x)$  будем использовать не преобразование Фурье, а преобразование Лагерра, т.е. искать решение в виде:

$$\bar{v}_m(x) = \sum_{j=0}^{\infty} W_{m,j} l_j(\kappa x), \quad m = 0, 1, 2, \dots, \quad (20)$$

где значение параметра преобразования  $\kappa$  строго положительно. Откуда получаем:

$$\begin{cases} (\eta + \kappa) W_{m,0} = (-\eta + \kappa) W_{m-1,0} + 2\sqrt{\kappa} (\bar{f}_m - \bar{f}_{m-1}), & (21a) \\ (\eta + \kappa) W_{m,j} + 2\Upsilon(W_{m,j}) = (-\eta + \kappa) W_{m-1,j} + 2\Upsilon(W_{m-1,j}), & (21b) \end{cases}$$

где

$$\Upsilon(W_{m,j}) = \kappa \sum_{i=0}^{j-1} W_{m,i} = \kappa W_{m,j-1} + \Upsilon(W_{m,j-1}), \quad (22)$$

и  $W_{m,j} \equiv 0, \bar{f}_m \equiv 0, \quad \forall m < 0$ .

Принимая во внимание (22), уравнение (21b) преобразуется к виду

$$(\eta + \kappa) W_{m,j} + (\eta - \kappa) W_{m-1,j} = (\eta - \kappa) W_{m,j-1} + (\eta + \kappa) W_{m-1,j-1}. \quad (23)$$

Выбирая  $\kappa = \eta$ , имеем:

$$\begin{cases} W_{m,0} = \kappa^{-1/2} (\bar{f}_m - \bar{f}_{m-1}), & m = 0, 1, \dots, \\ W_{m,j} = W_{m-1,j-1}, & m = 0, 1, \dots; j = 1, 2, \dots \end{cases} \quad (24)$$

Учитывая (3а), (20), (24), окончательное решение (19) во временной области будет:

$$v(x, t) = \sum_{m=0}^{\infty} \left( \sum_{j=0}^m W_{m-j,0} l_j(\kappa x) \right) l_m(\eta t). \quad (25)$$

Изменив порядок суммирования, можно также записать:

$$v(x, t) = \sum_{j=0}^{\infty} \left( \sum_{m=0}^{\infty} W_{m,0} l_{m+j}(\eta t) \right) l_j(\kappa x). \quad (26)$$

Из вида формул (25) и (26) следует, что выражения в скобках являются коэффициентами ряда Лагерра. Тогда, принимая во внимание соотношения (24), введем в рассмотрение два преобразования с параметром  $\tau \geq 0$

$$\mathbb{S} \{ \bar{a}_m; \tau \} = \frac{1}{\sqrt{\eta}} \sum_{j=0}^m (\bar{a}_{m-j} - \bar{a}_{m-j-1}) l_j(\eta \tau), \quad (27a)$$

$$\mathbb{Q} \{ \bar{a}_j; \tau \} = \frac{1}{\sqrt{\eta}} \sum_{m=0}^{\infty} (\bar{a}_m - \bar{a}_{m-1}) l_{m+j}(\eta \tau), \quad \bar{a}_{-1} \equiv 0. \quad (27b)$$

Из рис. 3 для формулы (27а) видно, что коэффициенты разложения  $\bar{g}_m = \mathbb{S} \{ \bar{f}_m; \tau \}$  соответствуют функции  $g(t) = f(t - \tau)$ , где для  $t < 0$ ,  $f(t) \equiv 0$ . Из рис. 4 для формулы (27b) видно, что коэффициенты разложения  $\bar{h}_m = \mathbb{Q} \{ \bar{f}_m; \tau \}$  аппроксимируют функцию  $h(t) = f(\tau - t)$ , где для  $t < 0$ ,  $f(t) \equiv 0$ . Тогда преобразование  $\mathbb{S} \{ \cdot; \tau \}$  будем называть сдвигом. Преобразование  $\mathbb{Q} \{ \cdot; \tau \}$  будем называть сопряжением для интервала  $[0, \tau]$ , так как преобразование  $\mathbb{Q} \{ \cdot; \tau \}$  является своего рода аналогом комплексного сопряжения для коэффициентов тригонометрического ряда Фурье. Для реализации формул (27а) и (27b) требуется порядка  $O(n \log n)$  операций, если для вычисления линейных свертки (27а) и корреляции (27b) использовать алгоритмы на основе быстрого преобразования Фурье [24].

#### 2.4. Исключение фиктивной периодичности на основе процедуры "сопряжения"

Для исключения фиктивной периодичности аппроксимируемой функции в параграфе 2.2 была рассмотрена процедура, которая на основе анализа спектра ряда Лагерра ограничивает число коэффициентов разложения, чтобы отделить первый период аппроксимируемой функции от всех последующих фиктивных периодов. В этом параграфе будет предложен еще один алгоритм, позволяющий исключить периодичность с меньшими вычислительными затратами без дополнительного увеличения интервала аппроксимации.

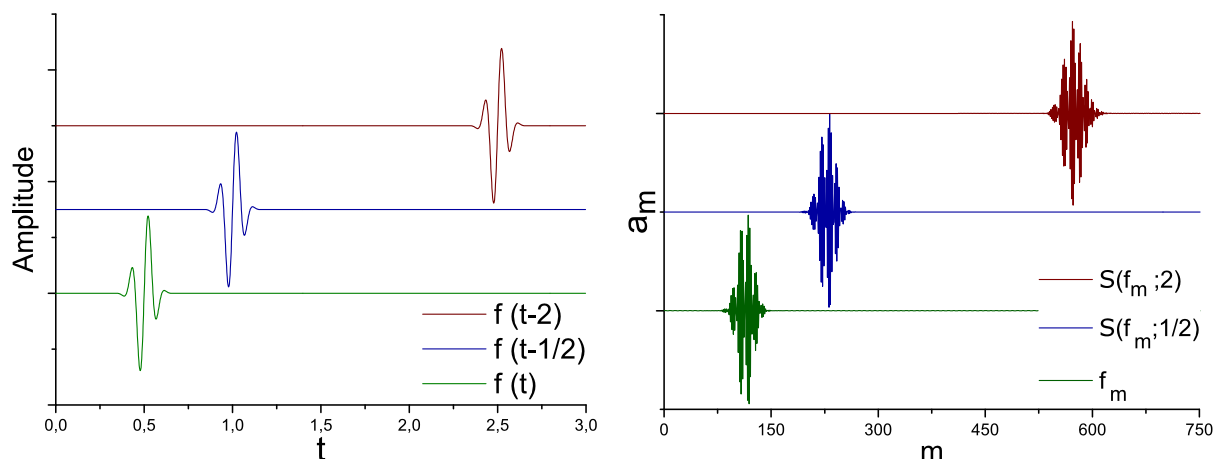


Рис. 3: а) График функции (16) и б) спектр Лагерра для различных значений параметра  $\tau$  оператора сдвига  $\mathbb{S}\{\bar{f}_m; \tau\}$ .

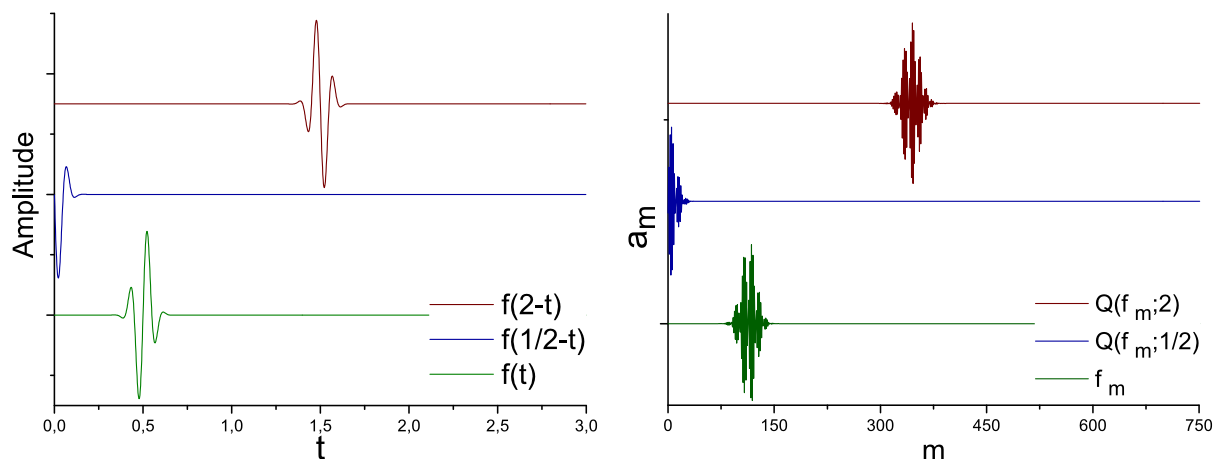


Рис. 4: а) График функции (16) и б) спектр Лагерра для различных значений параметра  $\tau$  оператора сопряжения  $\mathbb{Q}\{\bar{f}_m; \tau\}$ .

Рассмотрим процедуру, которая для заданного параметра  $\tau > 0$  преобразовывает коэффициенты ряда Лагерра таким образом, чтобы ряд, аппроксимирующий функцию  $f(t)$ , стал приближать функцию  $r(t) = H(-t + \tau)f(t)$ , где  $H(t)$  – функция Хэвисайда, что эквивалентно равенству нулю значений ряда  $\forall t > \tau > 0$ . Этого можно достичь путем последовательного применения двух операций сопряжения вида  $\mathbb{Q}^2\{\cdot; \tau\} \equiv \mathbb{Q}\{\mathbb{Q}\{\cdot; \tau\}; \tau\}$  к ряду Лагерра. Из рис. 5а видно, что после применения операции  $\mathbb{Q}^2\{\bar{f}_m; 1/2\}$ , значения ряда становятся равными нулю  $\forall t > 1/2$ . Локальная гладкость функции  $r(t)$  в окрестности точки  $t = 1/2$  уменьшается, что приводит к увеличению ширины спектра (рис. 5б). Однако, если дополнительных разрывов функции и ее производных в точке  $t = \tau$  не образуется (рис. 6а), то ширина спектра не увеличивается. В итоге, можно предварительно рассчитать коэффициенты разложения с использованием формулы (15), а затем применить операцию  $\mathbb{Q}^2\{\cdot; T\}$  для исключения фиктивной пе-

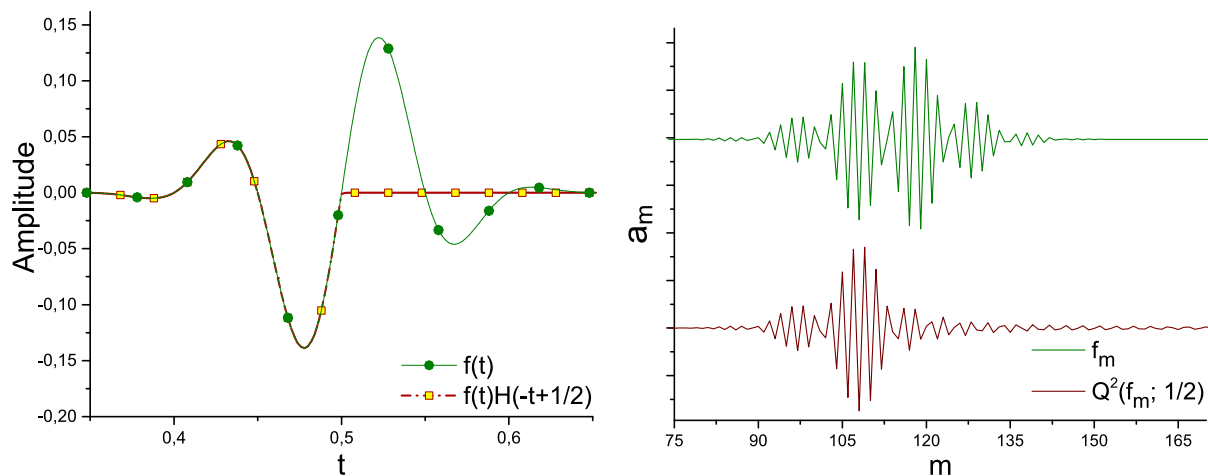


Рис. 5: а) График функции (16) до и после применения оператора  $Q^2 \{ \bar{f}_m; 1/2 \}$  и б) спектр Лагерра.

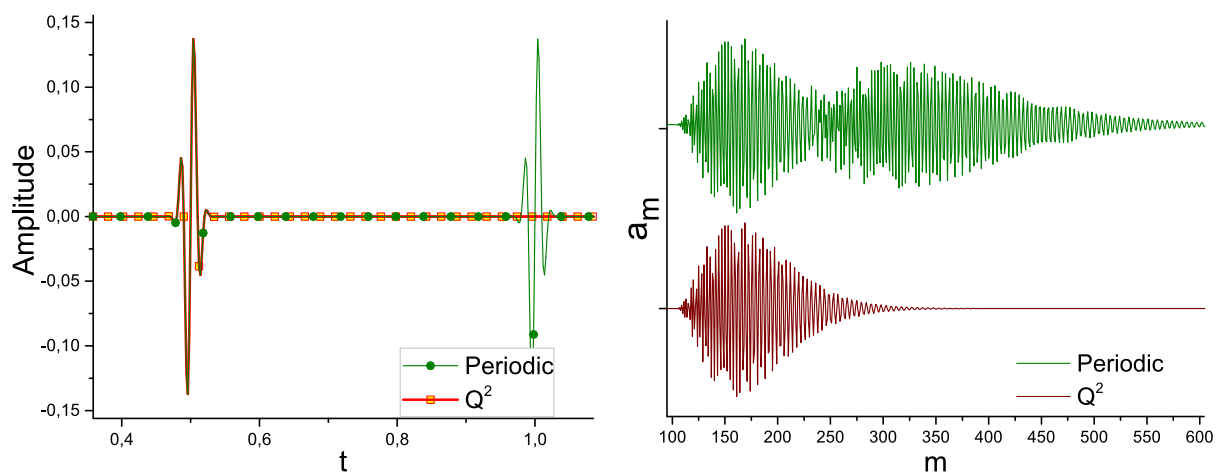


Рис. 6: а) График функции (16) до и после применения оператора  $Q^2 \{ \bar{f}_m; 0.7 \}$  и б) спектр Лагерра.

риодичности. Применение операции  $Q^2$  потребует порядка  $O(n \log n)$  арифметических действий, что значительно меньше, чем вычислительные затраты для формулы (15), поэтому общие затраты предлагаемого подхода возрастут незначительно. Чтобы избежать дополнительных разрывов и снижения гладкости аппроксимируемой функции и, как следствие, увеличения ширины спектра Лагерра, разлагаемую в ряд функцию предварительно следует локально умножить на экспоненциально затухающий множитель на правой границе интервала аппроксимации.

При решении практических задач сейсморазведки возникает необходимость выполнить интегральные преобразования для множества независимых временных рядов, называемых сейсмическими трассами. В этом случае процедуру исключения периодичности можно реализовать более экономично. Для этого перепишем формулу (15) в

матричном виде:

$$\begin{pmatrix} \bar{a}_0 \\ \bar{a}_1 \\ \dots \\ \bar{a}_{n-1} \\ \bar{a}_n \end{pmatrix} = \begin{pmatrix} \frac{1}{(Ik_0 + \eta/2)} & \frac{1}{(Ik_1 + \eta/2)} & \dots & \frac{1}{(Ik_{N_x} + \eta/2)} \\ \frac{(Ik_0 - \eta/2)}{(Ik_0 + \eta/2)^2} & \frac{(Ik_1 - \eta/2)}{(Ik_1 + \eta/2)^2} & \dots & \frac{(Ik_{N_x} - \eta/2)}{(Ik_{N_x} + \eta/2)^2} \\ \dots & \dots & \dots & \dots \\ \frac{(Ik_0 - \eta/2)^n}{(Ik_0 + \eta/2)^{n+1}} & \frac{(Ik_1 - \eta/2)^n}{(Ik_1 + \eta/2)^{n+1}} & \dots & \frac{(Ik_{N_x} - \eta/2)^n}{(Ik_{N_x} + \eta/2)^{n+1}} \end{pmatrix} \begin{pmatrix} \tilde{f}_0 \\ \tilde{f}_1 \\ \dots \\ \tilde{f}_{N_x-1} \\ \tilde{f}_{N_x} \end{pmatrix} = M\tilde{F}. \quad (28)$$

Введем в рассмотрение матрицу  $\check{M}$ , столбцы которой получены из столбцов матрицы  $M$  посредством применения к ним операций  $\mathbb{Q}^2\{;\cdot;T\}$ . Вместо того, чтобы применять операцию  $\mathbb{Q}^2\{;\cdot;T\}$  к уже рассчитанным коэффициентам  $\bar{a}_n$ , можно заранее рассчитать матрицу  $\check{M}$  и вычислять коэффициенты разложения уже без фиктивной периодичности. Этот прием следует использовать, если число столбцов матрицы  $M$  значительно меньше количества функций, которые необходимо аппроксимировать.

Теперь формулируем алгоритмы для аппроксимации функции  $f(t)$ ,  $t \in [0, T]$  рядом Лагерра, где для исключения фиктивной периодичности используется оператор  $\mathbb{Q}^2\{;\cdot;T\}$ .

**Алгоритм 2.** Для аппроксимации рядом Лагерра функции  $f(t)$  на интервале  $t \in [0, T]$  следует выполнить:

1. **Подготовительный этап:**

1.1 Сформировать матрицу  $M$  вида (28).

1.2 Рассчитать модифицированную матрицу  $\check{M}$ , выполнив преобразование  $\mathbb{Q}^2\{;\cdot;T\}$  для каждого столбца матрицы  $M$ .

2. **Для каждой аппроксимируемой функции  $f(t)$ :**

2.1 На основе быстрого алгоритма дискретного преобразования Фурье вычислить  $\tilde{f} = FFT(f)$ .

2.2 Вычислить коэффициенты ряда Лагерра как  $(\bar{a}_0, \bar{a}_1, \dots, \bar{a}_n)^T = \hat{M} \times (\tilde{f}_0, \tilde{f}_1, \dots, \tilde{f}_{N_x})^T$ .

Если число аппроксимируемых функций будет меньше, чем число столбцов матрицы  $M$ , тогда эффективнее использовать следующий алгоритм без вычисления матрицы  $\check{M}$ .

**Алгоритм 3.** Для аппроксимации рядом Лагерра функции  $f(t)$  на интервале  $t \in [0, T]$  следует выполнить:

1. На основе быстрого алгоритма дискретного преобразования Фурье вычислить  $\tilde{f} = FFT(f)$ .

2. Вычислить коэффициенты ряда Лагерра как  $(\bar{a}_0, \bar{a}_1, \dots, \bar{a}_n)^T = M \times (\tilde{f}_0, \tilde{f}_1, \dots, \tilde{f}_{N_x})^T$ .

3. Выполнить преобразование  $\mathbb{Q}^2\{\bar{a}_n; T\}$  для исключения фиктивной периодичности.

## 2.5. Алгоритм разложения функции в ряд Лагерра для произвольной функции

Алгоритмы 1, 2 и 3 применимы, когда аппроксимируемая рядом Лагерра функция может быть представлена, в том числе и рядом Фурье. Для того чтобы значения коэффициентов ряда Лагерра убывали достаточно быстро необходимо, чтобы разлагаемая функция экспоненциально стремилась у нулю в окрестности правой границы интервала аппроксимации [25]. Этого можно достичь, локально умножив функцию на множитель вида  $\exp(-\mu t)$ ,  $\mu > 0$ . С другой стороны, в силу периодичности тригонометрической интерполяции необходимо, чтобы выполнялось условие  $f(0) = f(T) = 0$ , тем самым накладываются ограничения на вид аппроксимируемой функции. Например, если применить рассмотренные выше алгоритмы к функции, представленной на рис. 7а, то возникнут осцилляции на обоих границах интервала разложения, как показано на рис. 7б. Потери точности можно избежать, если проводить вычисления по следующей схеме.

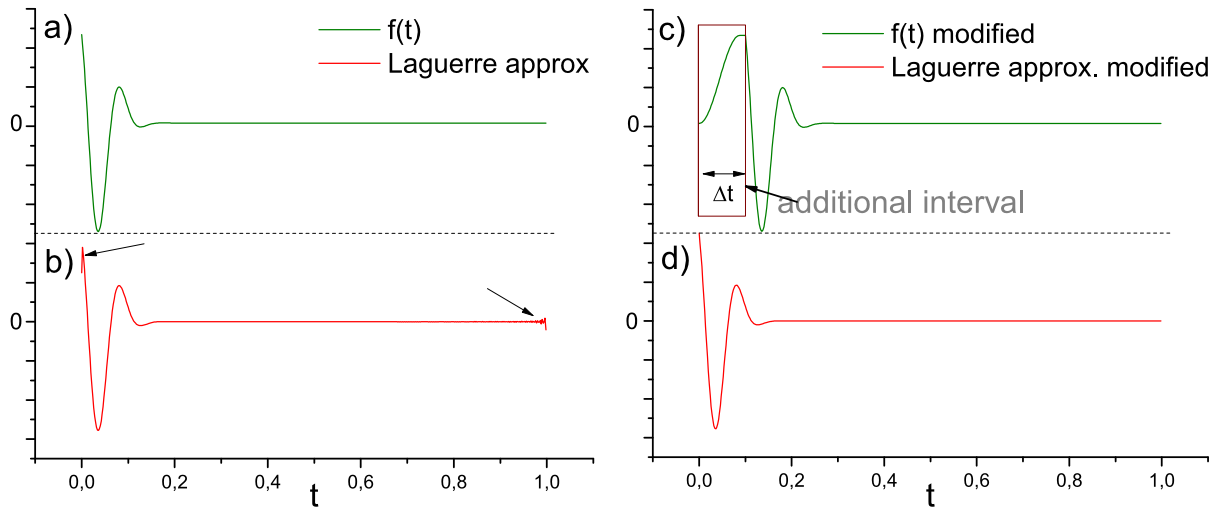


Рис. 7: а) Аппроксимируемая функция. б) Некорректная аппроксимация исходной функции рядом Лагерра, артефакты указаны стрелками. в) Вид вспомогательной функции, включающей дополнительный интервал. д) Корректная аппроксимация исходной функции рядом Лагерра после исключения вспомогательного интервала.

Во-первых, необходимо сдвинуть исходную функцию вправо на величину  $\Delta t$ . Далее, на промежутке  $t \in [0, \Delta t]$  добавляется некоторая гладкая функция, которая принимает нулевое значение для  $t = 0$ , как показано на рис. 7с, где на промежутке  $t \in [0, \Delta t]$  была задана масштабированная четверть периода функции  $\cos^2(t)$ . Если модифицированная функция будет раскладываться в ряд Лагерра на основе алгоритма 2 или 3, то вместо операции  $\mathbb{Q}^2 \{\bar{a}_m; T\}$  следует использовать операцию  $\mathbb{Q} \{\mathbb{Q} \{\bar{a}_m; T + \Delta t\}; T\}$ . Это позволит исключить как фиктивную периодичность, так и вспомогательный интервал  $t \in [0, \Delta t]$ . Если планируется использовать алгоритм 1, который не требует применения операции  $\mathbb{Q}^2 \{\bar{a}_m; T\}$ , то дополнительный интервал  $[0, \Delta t]$  следует исключить путем расчета коэффициентов разложения по формуле (15), однако, вместо  $\bar{a}_m = \bar{v}_m(0)$  следует положить  $\bar{a}_m = \bar{v}_m(-\Delta t)$ .

## 2.6. Устойчивое вычисление функций Лагерра для любого порядка и значения аргумента

Рассмотрим проблему вычисления функций Лагерра при реализации операций  $\mathbb{S}\{\cdot; \tau\}$  и  $\mathbb{Q}\{\cdot; \tau\}$ . Если аргумент функций  $l_m(\eta\tau)$  для (27a), (27b) будет слишком большим, то как было сказано во введении, возникает ошибка типа "overflow" при вычислении функции  $L_n(\eta\tau)$  или ошибка типа "underflow" при вычислении множителя  $\exp(-\eta\tau/2)$ . Реализация 128-битной арифметики не позволяет полностью исключить ошибок такого рода для больших значений аргумента или порядка функции Лагерра, поэтому рассмотрим более надежный и универсальный подход.

Из соотношения  $l_m(\eta t_0) = \int_0^\infty \delta(t - t_0) l_m(\eta t) dt$ , где  $\delta(t)$  – Дельта функция, следует, что коэффициенты  $\bar{a}_k = l_m(0) = 1$  ряда Лагерра (3a) соответствуют  $\delta(0)$ . Тогда можно вычислить функции Лагерра для любых значений аргумента посредством серии сдвигов вида

$$\{l_m(t_0)\} = \mathbb{S}\{\dots\mathbb{S}\{\mathbb{S}\{l_m(0); \tau_1\}; \tau_2\} \dots; \tau_p\}, \quad t_0 = \sum_{i=1}^p \tau_i. \quad (29)$$

Максимальное значение параметра сдвига  $\tau_i$  для 64-битной арифметики ограничено возможностью представления величины  $\exp(-\eta\tau_i/4)$  для вещественных чисел. В соответствии со стандартом IEEE, описывающий представление вещественных чисел с 64-битной точностью, выбирая  $\eta\tau_i \leq 4 |\ln(2.225 \times 10^{-308})| \approx 2600$ , можно вычислить  $l_n(\eta\tau_i)$  с помощью (5) без возникновения ситуаций типа "underflow" и "overflow". Что-

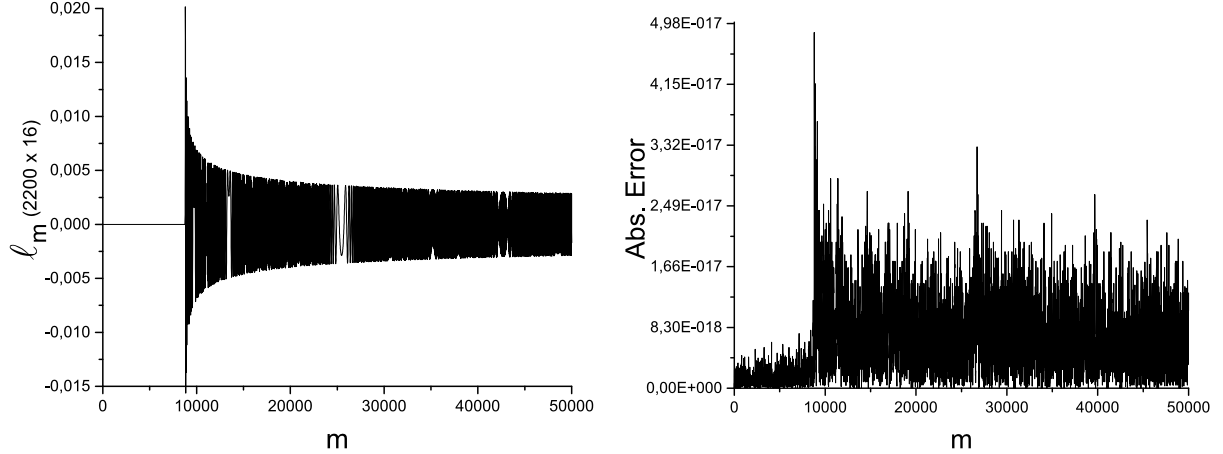


Рис. 8: а) Зависимость значений функций Лагерра от порядка  $m$  для фиксированного аргумента. б) Разность значений функции Лагерра, вычисленных посредством формулы (30) для 64-битной арифметики и формулы (5) для 128-битной арифметики.

бы сократить общее число сдвигов и, как следствие, вычислительные затраты, имеет смысл выполнять сдвиги рекуррентным образом

$$\{l_m(2^p \eta\tau)\} = \mathbb{S}\{\mathbb{S}\{\mathbb{S}\{\mathbb{S}\{l_m(\eta\tau); \tau\}; 2\tau\}, 4\tau\} \dots; 2^{p-1}\tau\}. \quad (30)$$

По сравнению с формулой (29) экономия вычислений достигается за счет того, что значения функций Лагерра, полученные на предыдущем шаге, используются в формуле

(27a), чтобы осуществить сдвиг на текущем шаге реализации формулы (30). Таким образом, величина сдвига на каждом шаге удваивается, что уменьшает общее число сдвигов, каждый из которых требует  $O(n \log n)$  операций. Отметим, что для первого сдвига всегда требуется вычислить значения  $l_m(\eta\tau)$  по формулам (5), (6).

На рис. 8a приведен результат расчета значений функций  $l_m(2200 \times 16)$  на основе формулы (30). Абсолютная разница значений для формулы (30) для 64-битной арифметики и формул (5), (6) для 128-битной арифметики, показана на рис. 8b. Видно, что оба подхода дают практически одинаковые результаты. Таким образом, рассмотренный алгоритм позволяет отказаться от использования арифметики повышенной точности, сохранив возможность устойчиво вычислять значения функций Лагерра любого порядка для любых значений аргумента. Более того, тестовые расчеты показали, что по сравнению с 128 битной арифметикой, предложенный способ вычислений требует в несколько раз меньшего времени счета, в частности, если используется 32 битная арифметика для организации процедуры сдвига.

### 2.7. Оптимизация вычислительных затрат для длительных интервалов аппроксимации

Известно, что исключительное быстродействие и устойчивость алгоритма быстрого преобразования Фурье обусловили его широкое применение во многих областях вычислительной математики, тогда как сопоставимый по эффективности алгоритм для преобразования Лагерра пока не разработан. Несмотря на то, что общие методы быстрых полиномиальных преобразований предложены достаточно давно [26], их ценность имеет скорее теоретическое, чем практическое значение из-за использования численно неустойчивых экономичных процедур умножения матриц  $V$  и  $V^T$  на вектор, где  $V$  – плохообусловленная матрица Вандермонда [27, 28]. Например, быстрое умножение на матрицу  $V$  реализуется посредством алгоритма [29], вычислительная сложность которого составляет порядка  $O(n \log^2 n)$  операций, к сожалению, такой метод неустойчив, так как один из его этапов включает рекурсивное применение операции полиномиального деления. Операция умножения матрицы  $V^T$  на вектор может быть сведена к решению СЛАУ с матрицей Вандермонда с затратами порядка  $O(n \log^2 n)$  [26, 30, 31]. Такой подход также не может быть рекомендован к практическому использованию в силу численной неустойчивости.

Число обусловленности для функций Лагерра превосходит число обусловленности для других классических ортогональных многочленов [32], поэтому проблема устойчивости быстрых алгоритмов для преобразования Лагерра является, пожалуй, одной из самых трудно решаемых. На сегодняшний день быстрые преобразования разработаны для многочленов Чебышева, Лежандра и Эрмита [33, 34, 35], в этих случаях арифметическая сложность алгоритмов будет порядка  $O(n \log n)$  или  $O(n \log^2 n)$  операций. Разработаны также быстрые алгоритмы перехода от одного ортогонального полиномиального базиса, задаваемого трехчленным рекуррентным соотношением, к другому [36]. В работе [37] предложен алгоритм для выполнения быстрых полиномиальных преобразований, который основан на приближенной факторизации матриц  $V$  или  $V^T$ . В ряде случаев авторам удалось снизить вычислительные затраты до уровня  $O(n \log n)$

арифметических действий, однако, для различных ортогональных многочленов и длин интервалов разложения вычислительная сложность может варьироваться. Также алгоритм становится эффективным по сравнению с прямым методом умножения матрицы на вектор, только начиная с некоторого  $n \geq n_0$ , где  $n_0$  – порядка нескольких тысяч.

Для разложения функции в ряд Лагерра на основе формулы (15) требуется порядка  $O(nN_x)$  арифметических действий, где  $n$  – число членов разложения ряда Лагерра, а  $N_x$  – число гармоник вспомогательного ряда Фурье. Аппроксимация функции для длительных интервалов требует задания больших значений  $n$  и  $N_x$ , что делает преобразование Лагерра неэкономичным. С целью снизить время вычислений при выполнении преобразования Лагерра, рассмотрим алгоритм типа "разделяй и властвуй" [38]. Общая идея такого подхода состоит в том, что на первом шаге исходная задача разделяется на независимые подзадачи, для решения которых требуются значительно меньшие вычислительные затраты. На втором шаге происходит сборка решения исходной задачи из решений подзадач. Такой подход был успешно применен, например, в работах, в которых был предложен параллельный алгоритм дихотомии для решения систем линейных алгебраических уравнений с трехдиагональными [17], блочно-трехдиагональными [2] и Теплицевыми матрицами [18].

**Алгоритм 4.** Для аппроксимации рядом Лагерра функции  $f(t)$  на интервале  $t \in [0, T]$  следует выполнить:

1. Произвести декомпозицию интервала аппроксимации  $t \in [0, T]$  на  $p = 2^s$  перекрывающихся подынтервалов длиной  $\Delta t_i = \beta_i - \alpha_i$  (рис. 9). При этом на границах подынтервала в буферных зонах функция должна плавно стремиться к нулю так, чтобы сумма двух локальных функций в буферных зонах оставалась равной значению аппроксимируемой функции.
2. Локальная функция  $f_i(t)$ , заданная на подынтервале с номером  $i$ , раскладывается в ряд Лагерра на вспомогательном интервале  $[0, \Delta t_i]$  посредством алгоритма 1, 2 или 3.
3. Сдвинуть локальные функции, перейдя от интервала  $[0, \Delta t_i]$  к подынтервалу  $[\alpha_i, \beta_i]$ . Это делается посредством серии сдвигов функции  $f_i(t)$  в соответствии со схемой, представленной на рис. 10, на которой рассмотрен пример для четырех подынтервалов. Процесс сборки состоит из  $\log_2 p$  шагов, где  $p$  – число подынтервалов, следовательно, для рассматриваемого примера потребуется два шага. На первом шаге последовательность коэффициентов рядов Лагерра для локальных функций  $f_2(t)$  и  $f_4(t)$  дополняются нулями, чтобы число коэффициентов разложения удвоилось. Затем расширенные ряды сдвигаются посредством процедур  $\mathbb{S}\{\bar{a}_{n/2}; \alpha_2\}$ ,  $\mathbb{S}\{\bar{a}_{n/2}; \alpha_4 - \alpha_3\}$ . После этого коэффициенты первого и второго, третьего и четвертого рядов попарно складываются. В итоге, получаются два интервала большей длины. Далее, на втором шаге аналогичный процесс применяется для нового второго ряда, после сдвига которого  $\mathbb{S}\{\bar{a}_n; \alpha_3\}$  коэффициенты разложения первого и второго рядов складываются. Таким образом, все локальные функции будут перемещены на исходные позиции относительно переменной  $t$ , а полученный ряд

будет аппроксимировать исходную функцию  $f(t)$  с некоторой точностью.

**Замечание.** Для выполнения одного сдвига  $\mathbb{S}\{\bar{a}_n; \tau\}$  посредством быстрого преобразования Фурье требуется  $O(n \log n)$  арифметических действий. Из рис. 3 видно, что сдвиг функции вправо увеличивает число коэффициентов ряда Лагерра, необходимых для аппроксимации сдвинутой функции с прежней точностью. Для расчетной схемы на рис. 10 каждый сдвиг будет удваивать минимально необходимое число слагаемых ряда Лагерра. Именно поэтому перед операцией сдвига требуется предварительно дополнять нулями (zero padding) последовательность коэффициентов ряда Лагерра. После выполнения операции сдвига нулевые значения добавленных коэффициентов разложения станут ненулевыми.

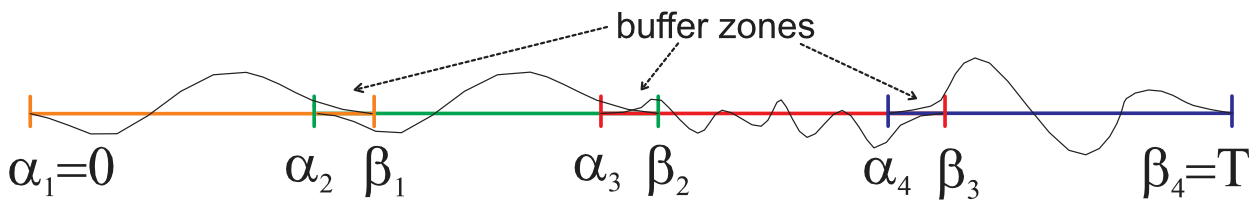


Рис. 9: Декомпозиции исходного интервала аппроксимации на четыре перекрывающихся подынтервала.

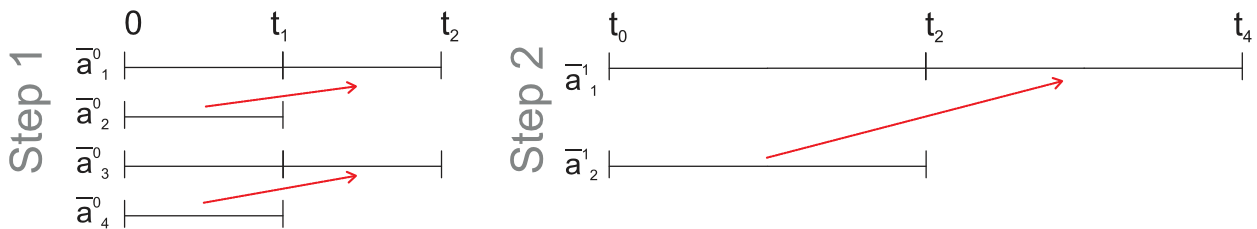


Рис. 10: Схема конструирования аппроксимации для функции  $f(t)$  на основе предварительно рассчитанных аппроксимаций для локальных функций  $f_i(t)$ .

Для больших значений  $n$  и  $N_x$  алгоритм 4 будет иметь вычислительную сложность порядка  $O(nN_x/p + n \log_2 n \log_2 p)$  vs.  $O(nN_x)$ , где  $p$  – количество подынтервалов. Первое слагаемое – это затраты для аппроксимации локальных функций  $f_i(t)$ ,  $t \in [0, \Delta t_i]$ , а второе слагаемое – это затраты для выполнения серии операций сдвига для преобразования локальных коэффициентов разложения в коэффициенты разложения для исходной функции  $f(t)$ . Однако у этого алгоритма присутствует недостаток, а именно: число коэффициентов ряда Лагерра для аппроксимации локальных функций  $f_i(t)$  на подынтервалах  $[0, \Delta t_i]$  зависит не только от длины подынтервала, но и от гладкости функции  $f_i(t)$ . Учитывая, что при решении практических задач гладкость аппроксимируемой функции может быть низкой, то сходимость ряда может быть невысокой. Это приводит к тому, что при одинаковой точности суммарное число коэффициентов разложения для локальных задач для алгоритма 4 будет больше, чем число коэффициентов разложения при использовании алгоритма 1, 2 или 3. Таким образом, разбиение

потребуется дополнительных вычислительных затрат, реальный объем которых можно выяснить в рамках вычислительных экспериментов.

### 3. Вычислительные эксперименты

Чтобы оценить точность аппроксимации и производительность предлагаемых методов, проведем серию вычислительных экспериментов для функций различной гладкости и интервалов аппроксимации различной длины. Вычислительные процедуры для вычисления коэффициентов Лагерра будут реализованы с одинарной и двойной точностью. С поправкой на машинную точность алгоритмы 2 и 3 дают одинаковые результаты расчетов коэффициентов ряда Лагерра, поэтому в рамках тестирования предлагаемых алгоритмов результаты оценки точности для алгоритма 2 будут справедливы и для алгоритма 3, поэтому отдельное тестирование алгоритма 3 рассматриваться не будет.

#### 3.1. Обращение преобразования Лагерра

Для того чтобы иметь возможность проверить точность предлагаемых алгоритмов, необходимо вычислить обратное преобразование Лагерра (3а). В отличие от прямого преобразования, здесь не возникает проблемы выбора шага интегрирования, однако, остается проблема вычисления значений функций Лагерра высоких порядков для больших значений аргумента. Эта проблема может быть решена несколькими способами. Если проводить расчеты со 128 битной вещественной точностью посредством формулы (5), то можно вычислять функции Лагерра высоких порядков для достаточно больших значений аргумента без возникновения ошибок типа "overflow" и "underflow". Другой способ состоит в применении асимптотических разложений [22, 39] для вычисления значений многочленов Лагерра  $L_n(\eta t)$ , откуда, домножая на  $\exp(-\eta t/2)$ , получаем значение функций Лагерра.

Если функция, аппроксимируемая рядом Лагерра, может быть представлена рядом Фурье, то можно перейти от коэффициентов Лагерра к коэффициентам Фурье по следующей формуле:

$$(\tilde{f}_0, \tilde{f}_1, \dots, \tilde{f}_{N_x})^T = M^T(\bar{a}_0, \bar{a}_1, \dots, \bar{a}_n)^T, \quad (31)$$

где  $\tilde{M}$  – это модифицированная матрица вида (28). В этом случае основная проблема заключается в появлении разрывов функции на границах интервала аппроксимации  $t \in [0, T]$ .

И наконец, можно применить устойчивый способ вычисления функций Лагерра по формулам (29) или (30), рассмотренный в параграфе 2.5. Как уже было сказано выше, несмотря на необходимость выполнения быстрого преобразования Фурье для вычисления линейной свертки, такой способ организации вычислений требует меньше время счета, по сравнению с применением 128 битной арифметики и формулы (5).

### 3.2. Тест 1. Разложение бесконечно гладкой функции в ряд Лагерра

В качестве первого теста рассмотрим аппроксимацию функции  $f(t)$  вида (16) для параметров  $f_0 = 30$ ,  $g = 4$ ,  $t_0 = 0.5$  на интервале  $t \in [0, 1]$ . Шаг дискретизации функции составлял  $ht = 0.002$ . Будем оценивать погрешность аппроксимации по формуле

$$\epsilon = \frac{\sum_{i=1}^s \left[ f(t_i) - \sum_{j=1}^n \bar{a}_j l_n(\eta t_j) \right]^2}{\sum_{i=1}^s f^2(t_i)}, \quad (32)$$

где  $f(t_i)$  –разлагаемая в ряд Лагерра функция, которая задана на множестве значений  $t_i \in [0, T]$ ,  $i = 1, 2, \dots, s$ ,  $t_1 = 0$ ,  $t_s = T$ .

На рис. 11 приведена зависимость величины погрешности от числа коэффициентов разложения ряда Лагерра для различных значений параметра масштабирования  $\eta \in [50, 1600]$ . Расчеты проводились как с двойной вещественной точностью рис. 11a,b, так и одинарной рис. 11c,d. Для исключения фиктивной периодичности в рамках алгоритма 1 исходный интервал аппроксимации был увеличен до интервала  $t \in [0, 2]$ , где  $f(t) \equiv 0$  для  $t \in [1, 2]$ . Из рис. 11a видно, что минимальная погрешность порядка  $\epsilon = 10^{-14}$  была достигнута при использовании алгоритма 1 для параметров  $\eta = 1600$  и  $n = 380 \div 920$ , а также для  $\eta = 800$  и  $n = 420 \div 440$ . С увеличением числа коэффициентов разложения для  $n > 920$  и  $\eta = 1600$  и для  $n > 440$  и  $\eta = 800$  наблюдается резкое снижение точности аппроксимации, что обусловлено проявлением фиктивной периодичности и резким обрывом значений коэффициентов ряда. Как показано на рис. 12, чем меньше заданное значение параметра  $\eta$ , тем более протяженным становится спектр. В этом случае, пересечение спектров двух периодов функции наступает при меньших значениях  $n$  и начиная с некоторого номера  $n > n_0(\eta)$  ряд Лагерра не сходится к аппроксимируемой функции.

В противоположность алгоритму 1, применение алгоритма 2 (рис. 11b,d) не потребовало дополнительного увеличения интервала аппроксимации. Уровень точности алгоритма 2 одинаковый как для двойной, так и одинарной вещественной арифметики и составляет порядка  $\epsilon = 10^{-7}$ , не снижаясь до  $\epsilon = 10^{-14}$  как для алгоритма 1. Это объясняется тем, что при реализации формулы (27b) последовательность  $l_m(\eta t_0)$ ,  $m = 0, 1, 2, \dots$  является коэффициентами разложения для дельта функции  $\delta(t_0)$ , для которой, как показано на рис. 8, спектр Лагерра является бесконечно протяженным и медленно затухающим, поэтому использовании конечного числа членов разложения является источником дополнительной погрешности. Однако поведение погрешности для алгоритма 2 носит более регулярный характер, так как фиктивной периодичности и резкого обрыва спектра при таком способе расчета не наблюдается.

Рассмотрим аппроксимацию функции, представленной на рис. 7, для которой  $f(0) \neq 0$ . Для такой функции было проведено сравнение точности алгоритмов 1,2 с методом прямоугольников для непосредственного вычисления интеграла (3b). Из-за того, что метод прямоугольников имеет первый порядок точности, шаг интегрирования был выбран в  $4 \times 10^5$  раз меньшим, чем шаг дискретизации для алгоритмов 1 и 2. Такой подробный шаг требуется, чтобы обеспечить высокую точность расчетов коэффициентов Лагерра для метода первого порядка точности. Для возможности численного

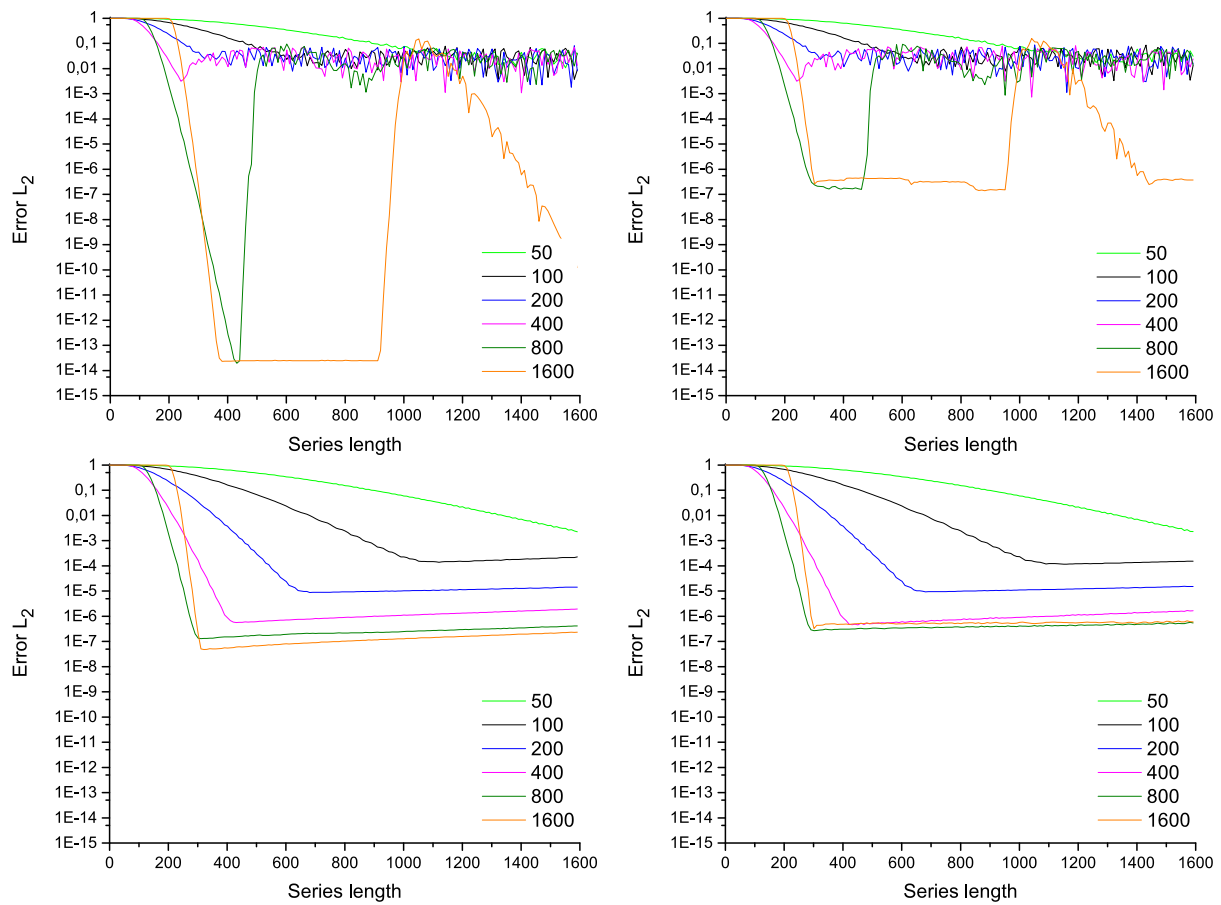


Рис. 11: Зависимость погрешности аппроксимации для функции вида (16) от количества слагаемых ряда Лагерра для различных значений параметра преобразования  $\eta = 50, 100, \dots, 1600$ . а) алгоритм 1 с 64-битной точностью, б) алгоритм 1 с 32-битной точностью, в) алгоритм 2 с 64-битной точностью, д) алгоритм 2 с 32-битной точностью.

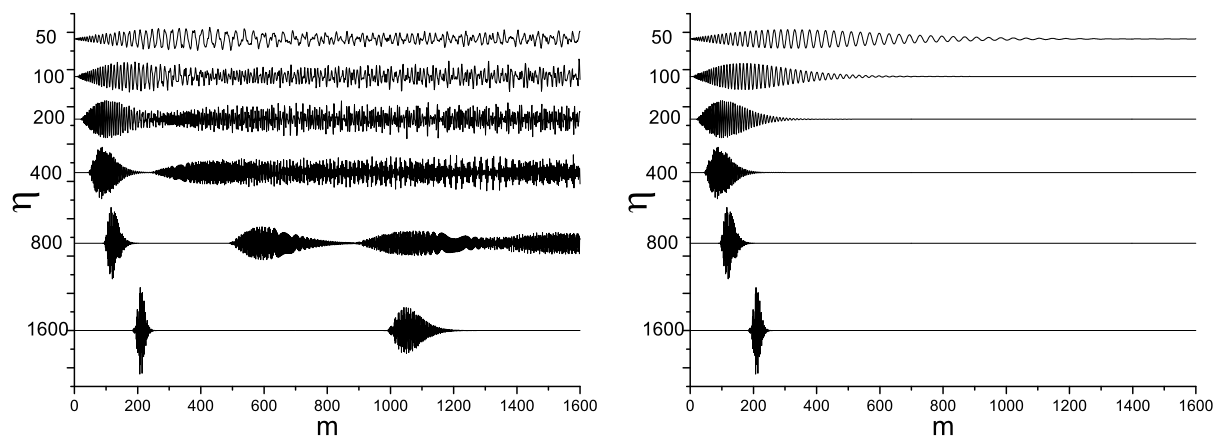


Рис. 12: Спектр Лагерра для различных значений параметра преобразования  $\eta = 50, 100, \dots, 1600$  для функции (16) для а) алгоритма 1 и б) алгоритма 2.

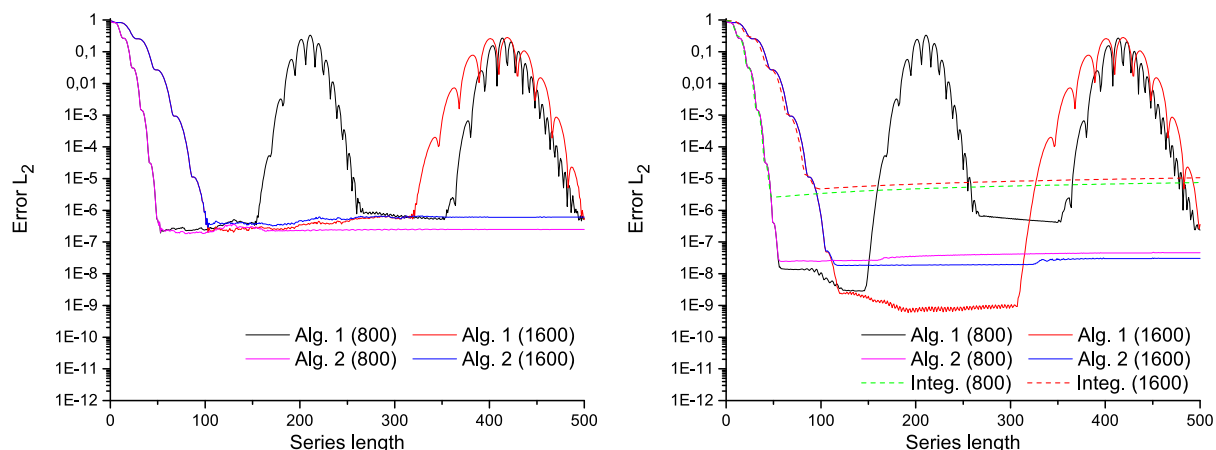


Рис. 13: Зависимость погрешности аппроксимации от количества слагаемых ряда Лагерра для функции, представленной на рис. 7. Расчеты проводились посредством алгоритма 1 и 2 с а) 32-битной точностью, б) 64-битной точностью.

интегрирования быстроосциллирующих функций с более крупным шагом необходимо использовать квадратуры очень высокого порядка точности. Для этого в работе [23] предлагалось использовать квадратуры 256 порядка точности для вычисления ряда Лагерра длиной  $n = 128$ . Однако при решении практических задач требуется аппроксимировать негладкие функции, что ставит под сомнение правомерность применения высокоточных квадратур, для которых оценка погрешности подразумевает наличие производных высоких порядков разлагаемой функции.

Проводя расчеты с одинарной вещественной точностью, можно сократить время счета посредством более высокой степени векторизации вычислений. Несмотря на то, что в этом случае погрешность алгоритма 1 для  $\eta = 800, 1600$  увеличивается с  $\epsilon = 10^{-14}$  до  $10^{-7}$ , т.е. до уровня одинарной машинной точности, а погрешность алгоритма 2 остается на уровне порядка  $\epsilon = 10^{-7}$  – устойчивость всех предложенных алгоритмов сохраняется. Стоит отметить, что максимальная возможная машинная точность вычислений для негладких функций может и не достигаться, что, в принципе, исключает необходимость применения двойной вещественной точности. Чтобы это продемонстрировать, в следующем тесте будет рассмотрена аппроксимация временного ряда из набора сейсмозведочных данных для скоростной модели среды "Sigsbee" [40].

### 3.3. Тест 2. Разложение негладких функций в ряд Лагерра

В рамках первого теста была рассмотрена аппроксимация гладкой функции на интервале  $[0, 1]$ . Теперь протестируем разработанные алгоритмы для негладкой функции (см. рис. 14), заданной на интервале  $[0, 12]$  с шагом дискретизации  $h_t = 0.008$ . Эта функция соответствует первой сейсмической трассе из тестового набора сейсмограмм для скоростной модели Sigsbee [40]. Так как сейсмограммы для модели SigSbee имеют одинарную вещественную точность – рассмотрим реализацию алгоритмов 1,2 только с одинарной точностью.

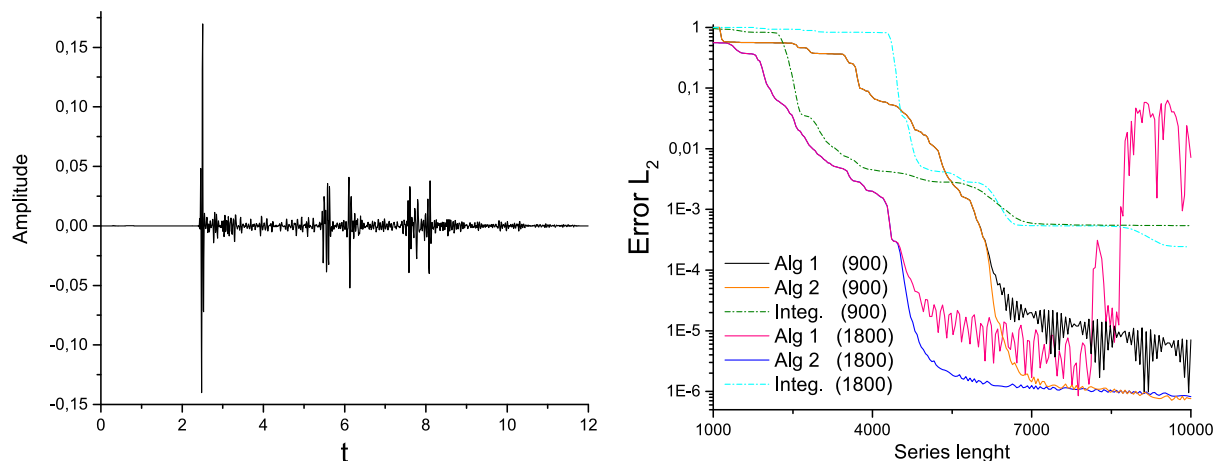


Рис. 14: а) Первая трасса из сейсмограммы для скоростной модели Sigsbee. б) Зависимость величины погрешности аппроксимации от количества слагаемых ряда Лагерра для различных алгоритмов и параметра трансформации  $\eta = 900, 1800$  для первой трассы из сейсмограммы для скоростной модели Sigsbee.

Для расчетов посредством алгоритма 2 интервал аппроксимации не изменялся, тогда как для алгоритма 1 интервал аппроксимации был увеличен в три раза до  $[0, 36]$  посредством добавления нулевых значений. Из рис. 14 видно, что алгоритм 2 приблизительно на порядок точнее алгоритма 1. Также алгоритм 2 демонстрирует более регулярное поведение погрешности, что в значительной степени упрощает процесс подбора оптимального числа коэффициентов ряда Лагерра. Меньшая точность алгоритма 1 обусловлена, во первых, протяженным спектром Лагерра для негладкой функции, что не позволяет отделить друг от друга спектры для разных периодов и исключить влияние фиктивной периодичности. Во-вторых, увеличение в три раза интервала аппроксимации также увеличивает число слагаемых ряда (15), что является источником дополнительно погрешности из-за увеличения общего количества операций.

Также было проведено сравнение точности расчета коэффициентов разложения между предлагаемыми алгоритмами и вычислением интеграла (3b) посредством метода прямоугольников с шагом интегрирования  $ht = 8 \times 10^{-7}$ . Как видно из рис. 14b, несмотря на значительно меньший шаг дискретизации функции, точность вычисления метода прямоугольников значительно меньше, чем для алгоритмов 1 и 2, при том что объем вычислений на несколько порядков больше. Из формулы (4) и рис. 1 следует, что с ростом  $n$  частота осцилляций функций  $l_n(\eta t)$  также увеличивается, поэтому для расчета каждого последующего коэффициента разложения требуется либо уменьшать шаг дискретизации подынтегральной функции, либо увеличивать порядок квадратурной формулы. Однако при решении практических задач следует учитывать, что ограниченная гладкость аппроксимируемых функции может не позволить реализовать максимальный порядок точности квадратурной формулы. Кроме того, дополнительные трудности высокоточных квадратур связаны с необходимостью вычислять значение подынтегральной функции на неравномерной сетке, тогда как аппроксимируемая

дискретная функция может быть задана для равноотстоящих значений аргумента. Подводя итог, можно сказать, что использование одинарной точности для алгоритмов 1 и 2 является вполне оправданным, так как наблюдаемый уровень погрешности является приемлемым при решении практических задач. Применение двойной точности может уменьшить погрешность, однако, только при аппроксимации очень гладких функций.

p	$n = 4096, t \in [0, 12]$						$n = 8192, t \in [0, 12]$					
	$\epsilon$	Prec.	Step 1	Step 2	Total	Rel.	$\epsilon$	Prec.	Step 1	Step 2	Total	Rel.
1	1.7E-3	1.8	29.0	-	29.0	-	2.5E-6	3.9	52.0	-	52.0	-
2	2.9E-3	0.3	15.6	0.9	16.5	1.7	1.5E-5	1.1	27.6	2.1	29.7	1.7
3	5.5E-3	5.7E-2	8.3	3.6	11.9	2.4	9.4E-5	0.2	15.1	9	24.1	2.1
8	7.8E-3	1.2E-2	5.3	7.8	13.1	2.2	1.2E-4	3.9E-2	8.7	17	25.7	2.0
16	2.2E-2	8.9E-2	3.5	15.5	19.1	1.5	2.1E-4	9.1E-3	5.7	34	39.7	1.3

Таблица 1: Характеристики алгоритма 4. Зависимость точности аппроксимации ( $\epsilon$ ), времени подготовительных вычислений (*Prec.*), необходимого для расчета локальной матрицы  $M$ , времени расчета локальной аппроксимации (*Step 1*), времени вычисления последовательности сдвигов для конструирования глобальной аппроксимации (*Step 2*), общего времени счета алгоритма 4 (*Total*), отношения времени счета для алгоритма 2/алгоритма 4 (*Rel.*) от числа вспомогательных интервалов ( $p$ ).

p	$n = 32768, t \in [0, 60]$						$n = 65536, t \in [0, 120]$					
	$\epsilon$	Prec.	Step 1	Step 2	Total	Rel.	$\epsilon$	Prec.	Step 1	Step 2	Total	Rel.
1	5.3E-6	77	877	-	877	-	3.4E-6	359	3455	-	3455	-
2	8.1E-6	19	449	25	474	1.8	4.6E-6	78.7	1754	58	1792	1.9
3	6.1E-5	4.8	231	44	275	3.1	9.7E-6	19.4	826	107	933	3.7
8	6.5E-5	1.2	124	63	187	4.6	6.6E-5	4.8	463	144	607	5.7
16	5.8E-5	2.5	79	80	159	5.5	6.8E-5	1.2	242	180	422	8.2
32	1.9E-4	4.2E-2	52	91	143	6.1	6.9E-5	2.6E-1	158	212	370	9.3
64	5.8E-4	9.6E-3	25	100	125	7.0	1.2E-4	4.2E-2	105	239	344	10
128	3.9E-3	1.7E-3	17	112	129	6.8	5.8E-4	9.6E-3	50	265	315	11

Таблица 2: Характеристики алгоритма 4. Зависимость точности аппроксимации ( $\epsilon$ ), времени подготовительных вычислений (*Prec.*), необходимого для расчета локальной матрицы  $M$ , времени расчета локальной аппроксимации (*Step 1*), времени вычисления последовательности сдвигов для конструирования глобальной аппроксимации (*Step 2*), общего времени счета алгоритма 4 (*Total*), отношения времени счета для алгоритма 2/алгоритма 4 (*Rel.*) от числа вспомогательных интервалов ( $p$ ).

В рамках тестирования алгоритма 4, в табл. 1, 2 приведены времена счета и оценки точности в случае аппроксимации всех 152684 сейсмических трасс для модели Sigsbee. Для интервала  $[0, 12]$  число коэффициентов ряда составляло  $n = 4096$  и  $8192$ , а для интервалов  $[0, 60]$  и  $[0, 120]$  число коэффициентов ряда было задано  $n = 32768$  и  $65536$  соответственно. Исходные сейсмические трассы для модели Sigsbee определены для  $t \in [0, 12]$ . Для того чтобы получить временные ряды для интервалов  $[0, 60]$  и  $[0, 120]$ , исходная трасса была последовательно дополнена четырьмя или одиннадцатью идентичными копиями исходного сигнала. Из представленных данных видно, что несмотря

на то, что алгоритм 4 не принадлежит к классу быстрых алгоритмов, тем не менее он позволяет несколько сократить время вычислений, особенно для больших временных интервалов. Также отметим, что при использовании алгоритма 4 время подготовительных вычислений, необходимых для модификации матрицы  $M$  в рамках реализации алгоритма 2, существенно сокращается, так как для аппроксимации локальных функций требуется матрица меньшего порядка. Тем не менее, из табл. 1, 2 видно, что точность аппроксимации  $\epsilon$  падает с ростом числа вспомогательных интервалов. Это обусловлено, во-первых, наличием вспомогательных буферов, в которых умножение на экспоненциально убывающий множитель выполняется с целью, чтобы спектр Лагерра локальной функции не был бесконечным из-за возникновения разрыва значений функции на границах подынтервалов. Также на каждом подынтервале локальная функция аппроксимируется рядом Лагерра с числом коэффициентов  $n/p$ , где  $p$  – число подынтервалов. Однако  $n/p$  коэффициентов разложения может быть не достаточно, чтобы аппроксимировать негладкую локальную функцию, что приводит к потере точности аппроксимации. Тем не менее, если требуется аппроксимировать временной ряд с точностью порядка  $\epsilon = 10^{-3} \div 10^{-5}$ , что является достаточным для практических расчетов [8, 9], то алгоритм 4 может быть рекомендован к использованию.

Также отметим, что для умножения матрицы  $\tilde{M}$  на вектор использовалась численная процедура из библиотеки BLAS MKL. Учитываю высокую степень оптимизации BLAS процедур для конкретной модели процессора, вычисление коэффициентов Лагерра выполняется очень быстро. Тогда как оптимизация алгоритма быстрого Фурье преобразования является более сложной задачей, что уменьшает степень векторизации вычислений на втором этапе алгоритма 4. Откуда, величина ускорения алгоритма 4 также уменьшается. Если для умножения матрицы вместо библиотеки BLAS использовалась бы внутренняя процедура Фортрана такая как "matlmul", то коэффициент ускорения алгоритма 4 был бы существенно большим (хотя общее время расчета также бóльшим), так как вычислительные затраты функции "matmul" в несколько раз больше по сравнению с процедурой из библиотеки BLAS MKL.

#### 4. Заключение

В статье разработаны новые численные алгоритмы для вычисления интегрального преобразования Лагерра на основе решения одномерно транспортного уравнения. Центральная идея предлагаемого подхода состоит в том, что приближенное вычисление значения несобственного интеграла для быстро осциллирующей функции заменено на точное преобразование Лагерра для дифференциального оператора транспортного уравнения в контексте решения начально-краевой задачи. Это позволяет исключить из рассмотрения проблему интегрирования быстро осциллирующих функций, для которых стандартные вычислительные методы интегрирования не обеспечивают заданной точности. Такой подход позволил решить обозначенные во введении проблемы, связанных с численной реализацией преобразования Лагерра. Успешная реализация предлагаемой вычислительной модели была бы невозможна без разработки двух альтернативных процедур, позволяющих исключить фиктивную периодичность, возникающую

вследствие решения транспортного уравнения с периодическими граничными условиями. Одна корректирующая процедура построена также на основе решения транспортного уравнения, тогда как другая основана на апостериорном анализе энергии спектра Лагерра. Тестовые расчеты показали, что первый способ исключения периодичности более надежен, точнее и экономичнее, так как не требует фиктивного увеличения интервала аппроксимации. Несмотря на то, что предлагаемые алгоритмы не относятся к классу быстрых алгоритмов, число арифметических операций было значительно сокращено, так как нет необходимости проводить расчеты с малыми шагами сетки или реализовывать квадратурные формулы высоких порядков точности для расчета несобственного интеграла. Дополнительно, на основе решения транспортного уравнения была рассмотрена идея, позволяющая сократить вычислительные затраты при выполнении преобразования Лагерра для длительных интервалов аппроксимации. Тестовые расчеты подтвердили, что все разработанные алгоритмы могут быть реализованы как с одинарной, так и с двойной вещественной точностью без потери численной устойчивости, тем самым обеспечивается эффективное использование ресурсов как CPU, так и GPU. Таким образом, в случае аппроксимации рядом Лагерра большого числа функций, например, при решении задач сейсморазведки, предложенные алгоритмы позволяют сэкономить значительное время счета, что делает предлагаемый подход востребованным как с методической, так и с прикладной точек зрения.

## **5. Финансирование**

Работы выполнены при финансовой поддержке гранта Президента Российской Федерации для государственной поддержки молодых российских ученых - кандидатов наук, МК-152.2017.5.

## Список литературы

- [1] A.G. Fatyanov and A.V. Terekhov. High-performance modeling acoustic and elastic waves using the parallel dichotomy algorithm. *J. Comp. Phys.*, 230(5):1992–2003, 2011.
- [2] A.V. Terekhov. A fast parallel algorithm for solving block-tridiagonal systems of linear equations including the domain decomposition method. *Parallel Comput.*, 39(6-7):245–258, 2013.
- [3] A.V. Terekhov. Spectral-difference parallel algorithm for the seismic forward modeling in the presence of complex topography. *Journal of Applied Geophysics*, 115(0):206–219, 2015.
- [4] B.G. Mikhailenko. Spectral laguerre method for the approximate solution of time dependent problems. *Applied Mathematics Letters*, 12:105–110, 1999.
- [5] B.G. Mikhailenko and A.F. Mastryukov. Numerical solution of maxwell’s equations for anisotropic media using the laguerre transform. *Russian Geology and Geophysics*, 49:621–627, 2008.
- [6] David Colton and Jet Wimp. Analytic solutions of the heat equation and some formulas for laguerre and hermite polynomials. *Complex Variables, Theory and Application: An International Journal*, 3(4):397–412, 1984.
- [7] Javier A. et al. ВЪНЪ.ВЪК 11.2 (2006): 021004. PMC. Web. 25 Aug. 2018. Jo. Laguerre-based method for analysis of time-resolved fluorescence data: Application to in-vivo characterization and diagnosis of atherosclerotic lesions. *Journal of biomedical optics*, 11(2), 2006.
- [8] A.V. Terekhov. The laguerre finite difference one-way equation solver. *Computer Physics Communications*, 214:71 – 82, 2017.
- [9] Andrew V. Terekhov. The stabilization of high-order multistep schemes for the laguerre one-way wave equation solver. *Journal of Computational Physics*, 368:115 – 130, 2018.
- [10] William T. Weeks. Numerical inversion of laplace transforms using laguerre functions. *J. ACM*, 13(3):419–429, July 1966.
- [11] J. Abate, G. Choudhury, and W. Whitt. On the laguerre method for numerically inverting laplace transforms. *INFORMS J. on Computing*, 8(4):413–427, 1996.
- [12] John Strain. A fast laplace transform based on laguerre functions. *Mathematics of Computation*, 58(197):275–283, 1992.
- [13] H. Weber. Numerical computation of the fourier transform using laguerre functions and the fast fourier transform. *Numerische Mathematik*, 36(2):197–209, Jun 1980.
- [14] G.H. Golub and C.F. Van Loan. *Matrix computations (3rd ed.)*. Johns Hopkins University Press, Baltimore, MD, USA, 1996.
- [15] H.A. van der Vorst. *Iterative Krylov Methods for Large Linear Systems*, volume 13. Cambridge University Press, 2003.
- [16] O. Axelsson. *Iterative solution methods*. Cambridge University Press, 1996.
- [17] A.V. Terekhov. Parallel dichotomy algorithm for solving tridiagonal system of linear equations with multiple right-hand sides. *Parallel Comput.*, 36(8):423–438, 2010.
- [18] A.V. Terekhov. A highly scalable parallel algorithm for solving toeplitz tridiagonal systems of linear equations. *Journal of Parallel and Distributed Computing*, 87:102–108, 2016.
- [19] M. Abramowitz and I.A. Stegun. *Handbook of Mathematical Functions with Formulas, Graphs, and Mathematical Tables*. Dover, New York, ninth dover printing, tenth gpo printing edition, 1964.
- [20] G. Szegö. *Orthogonal Polynomials*. American Math. Soc: Colloquium publ. American Mathematical Society, 1975.
- [21] D. Rainville. *Special Functions*. AMS Chelsea Publishing Series. Chelsea Publishing Company, 1971.
- [22] N. M. Temme. Asymptotic estimates for laguerre polynomials. *Zeitschrift für angewandte Mathematik und Physik ZAMP*, 41(1):114–126, Jan 1990.
- [23] Joseph R. Litko. Gi/g/1 interdeparture time and queue-length distributions via the laguerre transform. *Queueing Systems*, 4(4):367–381, Dec 1989.
- [24] H. J. Nussbaumer. *Fast Fourier Transform and Convolution Algorithms*. Springer-Verlag, 1982.
- [25] J.P. Boyd. *Chebyshev and Fourier Spectral Methods*. Dover, New York, 2001.
- [26] I. Gohberg and V. Olshevsky. Fast algorithms with preprocessing for matrix-vector multiplication problems. *Journal of Complexity*, 10(4):411 – 427, 1994.

- [27] V. Pan. How bad are vandermonde matrices? *SIAM Journal on Matrix Analysis and Applications*, 37(2):676–694, 2016.
- [28] Walter Gautschi. Optimally scaled and optimally conditioned vandermonde and vandermonde-like matrices. *BIT Numerical Mathematics*, 51(1):103–125, Mar 2011.
- [29] A. Borodin and R. Moenck. Fast modular transforms. *Journal of Computer and System Sciences*, 8(3):366 – 386, 1974.
- [30] I. Gohberg and V. Olshevsky. Complexity of multiplication with vectors for structured matrices. *Linear Algebra and its Applications*, 202:163 – 192, 1994.
- [31] Victor Pan, Akimou Sadikou, Elliott Landowne, and Olen Tiga. A new approach to fast polynomial interpolation and multipoint evaluation. *Computers & Mathematics with Applications*, 25(9):25 – 30, 1993.
- [32] Walter Gautschi. The condition of vandermonde-like matrices involving orthogonal polynomials. *Linear Algebra and its Applications*, 52-53:293 – 300, 1983.
- [33] B. Alpert and V. Rokhlin. A fast algorithm for the evaluation of legendre expansions. *SIAM Journal on Scientific and Statistical Computing*, 12(1):158–179, 1991.
- [34] Nicholas Hale and Alex Townsend. A fast fft-based discrete legendre transform. *IMA Journal of Numerical Analysis*, 36(4):1670–1684, 2016.
- [35] Gregory Leibon, Daniel N. Rockmore, Wooram Park, Robert Taintor, and Gregory S. Chirikjian. A fast hermite transform. *Theoretical Computer Science*, 409(2):211 – 228, 2008. Symbolic-Numerical Computations.
- [36] Alin Bostan, Bruno Salvy, and Eric Schost. Fast conversion algorithms for orthogonal polynomials. *Linear Algebra and its Applications*, 432(1):249 – 258, 2010.
- [37] Michael O’Neil, Franco Woolfe, and Vladimir Rokhlin. An algorithm for the rapid evaluation of special function transforms. *Applied and Computational Harmonic Analysis*, 28(2):203 – 226, 2010. Special Issue on Continuous Wavelet Transform in Memory of Jean Morlet, Part I.
- [38] Douglas R. Smith. The design of divide and conquer algorithms. *Science of Computer Programming*, 5:37 – 58, 1985.
- [39] A. Gil, J. Segura, and N. M. Temme. Efficient computation of laguerre polynomials. *Computer Physics Communications*, 210:124 – 131, 2017.
- [40] J. Paffenholz, B. McLain, J. Zaske, and P.J. Keliher. *Subsalt multiple attenuation and imaging: Observations from the Sigsbee2B synthetic dataset*, chapter 538, pages 2122–2125.